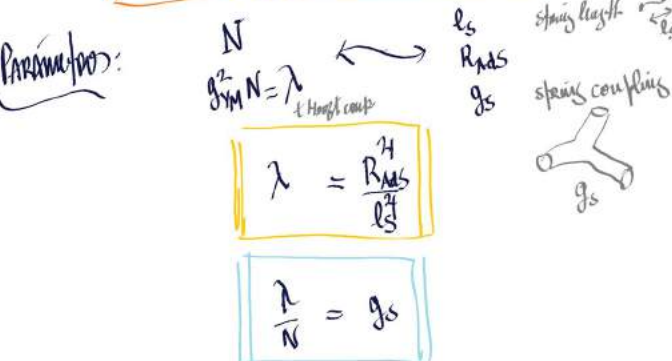
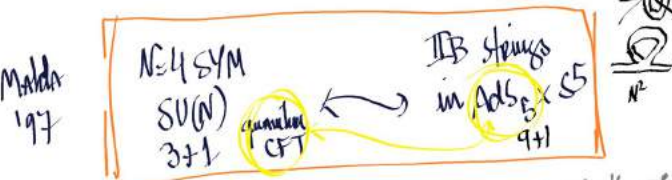
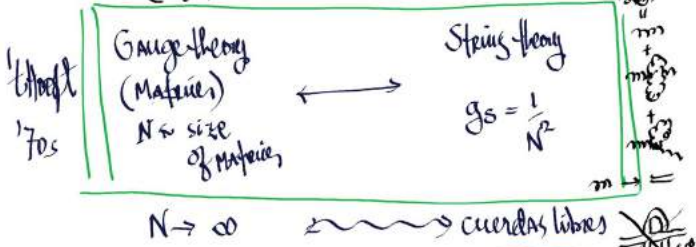


Intro AdS/CFT Cautico Lima 2020

Clase IV: AdS/CFT {connection}
 $(\partial_\mu A_\nu) = F_{\mu\nu} = (\partial_\mu A_\nu) - (\partial_\nu A_\mu) + 2g[A, A] \partial A$



límite clásico: qué es? $\hbar \rightarrow 0$
 • Large g_s

En la formulación de Feynman (integrales de caminos) el límite es muy natural a.k.a Saddle point

$$\langle x_f, t_f | x_i, t_i \rangle = \langle x_f | e^{-iH(t_f-t_i)} | x_i \rangle$$

$$= \int_{x(t_i)=x_i}^{x(t_f)=x_f} \mathcal{D}X e^{\frac{i}{\hbar} S[X]}$$

en el límite $\hbar \rightarrow 0$ la trayectoria que extremiza el exponente es la dominante
 $\langle x_f, t_f | x_i, t_i \rangle \sim e^{\frac{i}{\hbar} S[x_{cl}]}$ Diac
 $x_{cl}(t_i) = x_i$
 $x_{cl}(t_f) = x_f$

t'Hooft limit: $N \rightarrow \infty$
 $g_{YM} \rightarrow 0$
 $\lambda = g_{YM}^2 N = \text{fixed}$

Genéricamente en este límite dominan los diagramas planares en QFT y la forma de cuerdas es límite:
 En la realización de J.M. donde las fórmulas en 4D son bien concretas $\rightarrow \lambda = \frac{R_{AdS}^4}{l_s^4}$

Las cuerdas se propagan en AdS con radio R_{AdS}
 $S_{cuerdas} = T_s \int d^2\sigma$ análogo a $\sum_{\text{part}} \int ds$

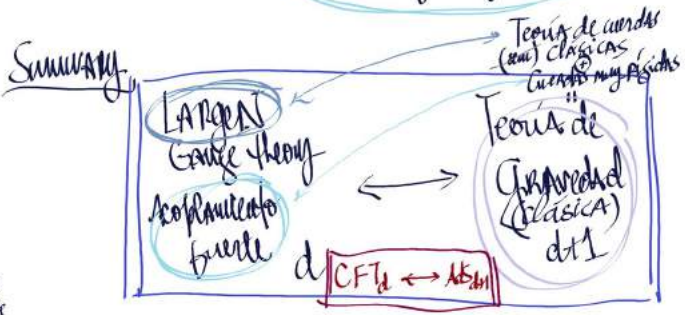
$T = \frac{M_{AdS}}{L_{AdS}} \sim \frac{1}{l_s^2}$

$T_f = T_s = \frac{1}{2\pi\alpha'} \alpha' = l_s^2$

$\frac{1}{\hbar} = \frac{R_{AdS}^2}{l_s^2} \int d\sigma \sqrt{-\text{hac}}$
 Métrica inducida sobre la superficie

$T_{eff} = \frac{R_{AdS}^2}{l_s^2} \sim \sqrt{\lambda}$

\Rightarrow en el límite de acoplamiento fuerte en la teoría de gauge, la cuerda es muy rígida \rightarrow no la puedes excitar \rightarrow a.k.a límite de gravedad solo contribuyen los estados de más baja energía



Veamos como una cuenta semiclasica en AdS S_{AdS} da cuenta de un fenomeno cuantico en CFT, Gubser-Klebanov-Polyakov-Witten (GKPW) prescription

¿Que calculamos en una CFT?

Funciones de correlacion de op \mathbb{P}^{D-1}

$$\langle \mathcal{O}_A(x_1) \dots \mathcal{O}_{A_n}(x_n) \rangle = \frac{1}{Z} \int \mathcal{D}A_\mu e^{-\int \mathcal{L}_{AdS}} \mathcal{O}_A \dots \mathcal{O}_{A_n}$$

donde $\mathcal{O}_A = \mathcal{F}(A_\mu) \leftarrow$ Gauge invariant
 $= \text{tr } F_{\mu\nu}^2$

Consideramos 1 solo tipo de operador $\mathcal{O}_A(x)$.

Si calculamos

$$Z[J] = \frac{1}{Z[0]} \int \mathcal{D}A_\mu e^{-S[A_\mu] + \int \mathcal{O}_A(x) J(x)}$$

funcion en CFT

Podemos hallar la funcion de correlacion de n pts haciendo

$$\frac{\delta^n Z[J]}{\delta J(x_1) \dots \delta J(x_n)} = \frac{1}{Z[0]} \int \mathcal{D}A_\mu e^{-S[A_\mu]} \mathcal{O}_A(x_1) \dots \mathcal{O}_A(x_n) e^{J \mathcal{O}_A}$$

$$\left. \frac{\delta^n Z[J]}{\delta J(x_1) \dots \delta J(x_n)} \right|_{J=0} = \langle \mathcal{O}_A(x_1) \dots \mathcal{O}_A(x_n) \rangle$$

$Z[J]$ = a la funcional generatriz

$Z[J]$ \leftrightarrow permite calcular n-pt correlation functions of \mathcal{O}_A

Ahora imaginemos que queremos calcular una path integral en el AdS bulk (Euclideo)

$$\int \mathcal{D}g_{\mu\nu} \mathcal{D}\Phi e^{-S[g_{\mu\nu}, \Phi]} = Z_{\text{grav}}$$

gauge fixed on AdS, $N^2 \rightarrow \infty$

\Rightarrow necesitamos dar C.C. para los campos en AdS $\Phi|_{\text{AdS}} = \phi_0(\vec{x}), \dots$

\Rightarrow en el limite semiclassico

$$Z_{\text{grav}}[\phi_0(\vec{x}), \dots] \sim e^{-S_{\text{grav}}[\Phi_e]}$$

con $\Phi_e|_{\text{AdS}} = \phi_0(\vec{x})$

¿Que proponen estos muchachos?

$$Z_{\text{CFT}}[J] = Z_{\text{grav}}[\phi_0|_{\text{AdS}}]$$

generatriz de funciones de correlacion

	\mathcal{O}_A	CFT	grav	big data
fuente		$J(x)$	$\phi_0 = \Phi _{\text{AdS}}$	
operador cuantico	\mathcal{O}_A	\leftrightarrow	Φ	
dimensionalidad	Δ	\leftrightarrow	m^2	masa
energy momentum tensor	$T_{\mu\nu}$	\leftrightarrow	$g_{\mu\nu}$	graviton
constante de acoplamiento	$2m^2 \gamma = 0$	\leftrightarrow	A_M	Gauge field

Chequemos lo Resolvamos

$$\left(\square_{\text{AdS}} - m^2 \right) \Phi = 0$$

" $\Phi = \phi_0(\vec{x})$ " } LA MANERA APROPIADA es imponer la CC en $z=\epsilon$, hacer la cuenta y tomar $\epsilon \rightarrow 0$ al final

Debida al volumen ∞ de AdS regularizamos el problema. El problema a resolver es

a.k.a Dirichlet b.c.

$$\left(\square_{\text{AdS}} - m^2 \right) \Phi = 0$$

$$\Phi(\epsilon, \vec{x}) = \phi_0(\vec{x})$$

$$\Phi(z, \vec{x}) = \int d\vec{p} e^{i\vec{p}\cdot\vec{x}} \frac{e^{-\Delta \phi_0(\vec{p})} K_\nu(pz)}{\epsilon^{\frac{d}{2}} K_\nu(p\epsilon)}$$

cuando evaluas en $z=\epsilon$ y recuperas la CC.

Ahora evaluemos la acción on-shell (a.k.a límite semiclásico de la path integral)

$$S[\Phi_{cl}] = \int_{z=0}^z d^d x \left(\partial_\mu \Phi \partial^\mu \Phi + m^2 \Phi^2 \right)$$

AdS $\int dx \sqrt{g}$ \int integra por partes

$$= \int d^d x \left[\sqrt{g} g^{\mu\nu} \partial_\mu \Phi \partial_\nu \Phi + \sqrt{g} m^2 \Phi^2 \right]$$

$$= \int d^d x \left[\partial_\mu (\sqrt{g} g^{\mu\nu} \Phi \partial_\nu \Phi) - \frac{\sqrt{g}}{2} \partial_\mu (\sqrt{g} g^{\mu\nu} \partial_\nu \Phi) + \sqrt{g} m^2 \Phi^2 \right]$$

$$= \int d^d x \left[\sqrt{g} g^{zz} \Phi \partial_z \Phi \right] + \int d^d x \sqrt{g} \left[\Phi (-\square + m^2) \Phi \right]$$

$z=\epsilon$ regularized bulk

$$= - \int d^d x \epsilon^2 \epsilon^\Delta \phi_0(\vec{x}) \int d\vec{p} e^{i\vec{p}\cdot\vec{x}} \frac{\phi_0(\vec{p})}{\epsilon^{\frac{d}{2}} K_\nu(p\epsilon)} \cdot \partial_z \left(\epsilon^{\frac{d}{2}} K_\nu(pz) \right)$$

Ahora analizaremos esta expresión. La cuestión es algo delicada pues al final tenemos que tomar $\epsilon \rightarrow 0$. De manera que nos impongan los términos más dominantes en $\epsilon \rightarrow 0$

Reexpresando $\phi_0(\vec{x}) = \int \frac{d^d \vec{k}}{(2\pi)^d} e^{i\vec{k}\cdot\vec{x}} \tilde{\phi}_0(\vec{k})$ resulta $= \tilde{\phi}_0(\vec{k}) \delta(\vec{k}+\vec{p})$

$$S[\phi_0] = - \int \frac{d^d x d^d \vec{p} d^d \vec{k}}{\epsilon^{\frac{d}{2}-1} (2\pi)^d} \tilde{\phi}_0(\vec{k}) e^{i(\vec{k}+\vec{p})\cdot\vec{x}} \tilde{\phi}_0(\vec{p}) \cdot \left. \frac{\partial_z \left(\epsilon^{\frac{d}{2}} K_\nu(pz) \right)}{K_\nu(p\epsilon)} \right|_{z=\epsilon}$$

$F(p, \epsilon)$

$$= - \int d\vec{p} \tilde{\phi}_0(\vec{p}) F(p, \epsilon) \tilde{\phi}_0(-\vec{p})$$

Ahora usamos $K_\nu(x) = x^\nu \Gamma(\nu) + x^{-\nu} \Gamma(-\nu)$

$$F(p, \epsilon) = \left. \frac{\partial_z \left(\epsilon^{\frac{d}{2}} K_\nu(pz) \right)}{K_\nu(p\epsilon)} \right|_{z=\epsilon}$$

$$= \frac{p^\nu \Gamma(\nu) \Delta_+ \epsilon^{\Delta_+-1} + p^{-\nu} \Gamma(-\nu) \Delta_- \epsilon^{\Delta_--1}}{2^{1+\nu}}$$

$$= \frac{p^\nu \epsilon^\nu \frac{\Gamma(\nu)}{2^{1+\nu}} + p^{-\nu} \epsilon^{-\nu} \frac{\Gamma(-\nu)}{2^{1-\nu}}}{p^{-\nu} \epsilon^{-\nu} \frac{\Gamma(-\nu)}{2^{1+\nu}} \left(1 + \frac{p^{2\nu} \epsilon^{2\nu} \Gamma(\nu)}{\Gamma(-\nu)} \right)}$$

$$F(p, \epsilon) = \epsilon^{\frac{d}{2}-1} \left(\Delta_- + \dots \right)$$

divergente pero "contact" term

VA A DAR UNA contribución finita

$$\Rightarrow S_{\text{gauge}}[\phi_0] = \int d\vec{p} \tilde{\phi}_0(\vec{p}) p^{2\nu} \tilde{\phi}_0(-\vec{p})$$

back to Config space

$$= \int d^d x d^d y \phi_0(x) \frac{1}{|x-y|^{2\Delta_+}} \phi_0(y)$$

$$Z_{\text{eff}}[\phi_0] = \underbrace{e^{-\int \phi_0(x) \frac{1}{|x-y|^{2\Delta_+}} \phi_0(y)}}_{Z_{\text{grav}}[\phi_0]} \quad \text{boundary data}$$



$$\left. \frac{\delta^2 Z_{\text{grav}}}{\delta \phi_0(x) \delta \phi_0(y)} \right|_{\phi_0=0} = \frac{1}{|x-y|^{2\Delta_+}}$$

Luego $Z_{\text{grav}} = Z_{\text{eff}}[\phi_0]$

↳ generatriz de op. por de dimensión Δ_+

$$\boxed{\begin{matrix} m^2 & \longleftrightarrow & \Delta_+ \\ \mathbb{F} \text{ bulk} & & \mathcal{O}_{\Delta_+} \end{matrix}}$$

Al considerar vértices en el bulk, resuelvo $K6$ + interacciones de manera perturbativa

a.k.a.
Witten
Diagram

